

©1995 г.

ПРОМЕЖУТОЧНОЕ СОСТОЯНИЕ УПРАВЛЯЕМОЙ ЧЕТЫРЕХСЛОЙНОЙ $p-n-p-n$ -СТРУКТУРЫ

*Н.З. Вагидов, З.С. Грибников, А.Н. Коршак, В.В. Митин**

Институт физики полупроводников Национальной академии наук Украины,
252028, Киев, Украина

*Wayne State University, Detroit, Michigan 48202, USA

(Получена 25 ноября 1994 г. Принята к печати 6 декабря 1994 г.)

Рассматриваемое промежуточное состояние это такое состояние неполного запирания структуры, при котором ток затвора (гейта) недостаточен для полного выключения тока анода, но существенно сжимает токопроводящую область, повышая в ней плотность тока. Этот режим неполного выключения может быть полезен для управления светоизлучающими структурами, позволяя регулировать размер светящейся области, ее положение, яркость излучения, соотношение между различными каналами рекомбинации и т.д. Развита стационарная теория распределения потенциалов и плотностей тока в режиме неполного выключения четырехслойной структуры при различных значениях полных анодных и гейтовых токов. Найдены токовые пределы существования гетерогенных состояний, включающих токопроводящие и «запертые» области. Учтено влияние конечной проводимости управляемой (высокоомной) базы. Вычисления выполнены для простейшего случая линейного закона рекомбинации в обеих базах и малых уровней инжекции по крайней мере в управляемой (низкоомной) базе.

1. Объектом изучения в данной работе является четырехслойная полупроводниковая $p^+ - n - p - n^+$ -структур, показанная на рис. 1. Исследуется фрагмент структуры, имеющий форму длинной однородной полосы с шириной $2l$ (в реальной ситуации это ширина катодной полосы). Крайние (внизу и вверху на рис. 1) p^+ - и n^+ -области считаются настолько сильно легированными, что они безусловно обеспечивают равные 1 коэффициенты инжекции основных носителей в соседние (внутренние на схеме, изображенной на рис. 1) базовые области. Поэтому неравновесные явления в крайних p^+ - и n^+ -областях не рассматриваются. Таковые явления рассмотрены во внутренних p - и n -областях — базах структуры. Одна из этих баз — управляющая p -база — снабжена боковыми электродами при $y = \pm l$ (рис. 1). Эти боковые электроды, являющиеся омическими p^+ -контактами к управляющей p -базе, будем называть гейтами (следуя американскому термину gate).

Рассматривается режим открытой структуры, когда все три $p-n$ -перехода (с номерами 1, 2, 3; рис. 1) смешены в прямом направлении и

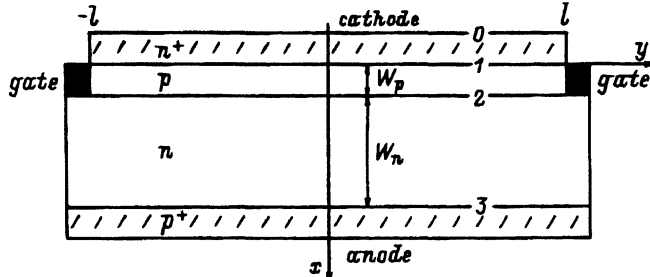


Рис. 1. Поперечное сечение четырехслойной $p^+-n-n-p^+$ -структурь.

через них протекает большой прямой ток. Если цепи гейтов разорваны и токи обоих гейтов отсутствуют $\mathcal{J}_{g1} = \mathcal{J}_{g2} = 0$, то по всей ширине прибора течет однородный анодный ток $j_a(0) = \mathcal{J}_a/2l$; величину \mathcal{J}_a полагаем заданной. Будем задавать на гейтах одинаковые отрицательные относительно катода потенциала $\varphi_{g1} = \varphi_{g2} = \varphi_g$, обеспечивающие гейтовые токи \mathcal{J}_g . Эти смещения стремятся запереть как катодный $p-n$ -переход 1, так и средний $p-n$ -переход 2. Такое запирание может считаться приближенно однородным, пока

$$\delta\varphi_g = \frac{\mathcal{J}_g l}{\sigma_p} < \frac{T}{e}, \quad (1)$$

где σ_p — продольная проводимость управляющей p -базы, T — температуры в энергетических единицах. В этом случае рассматриваемая структура ведет себя как однородный прибор, характеризуемый единственной плотностью тока j_a , приближенно одинаковой во всем интервале $(-l, l)$. С ростом \mathcal{J}_g , когда нарушается неравенство (1) и замечается на противоположное по смыслу неравенство, структура плотности анодного тока становится существенно гетерогенной: возникает средняя токопроводящая область $|y| < x_c$, в которой плотность тока возрастает сравнительно с исходной,

$$j_a(\mathcal{J}_g) = \frac{\mathcal{J}_g}{2x_c(\mathcal{J}_g)} > j_a(0), \quad (2)$$

и периферийная запертая область $x_c < |y| < l$, шириной которой растет с ростом \mathcal{J}_g . Существует некоторое подлежащее вычислению критическое значение \mathcal{J}_g , равное $\mathcal{J}_M(\mathcal{J}_a)$, превышение которого ведет к полному запиранию прибора и исчезновению токопроводящей области. В диапазоне

$$\frac{\sigma_p T}{el} < \mathcal{J}_g < \mathcal{J}_M(\mathcal{J}_a) \quad (3)$$

мы имеем дело с некоторым гетерогенным промежуточным состоянием структуры, которая частично заперта и частично открыта, причем, чем больше (при заданной величине \mathcal{J}_g) ток \mathcal{J}_g и чем больше площадь запертой части структуры, тем большее плотность тока в открытой части. Этот режим неполного выключения (РНВ) является основным предметом рассмотрения здесь.

Отметим, что в силовых тиристорах рассматриваемый РНВ не представляет заметного интереса, поскольку уменьшение токопроводящей области означает увеличение в ней плотности тока j_a и, следовательно, увеличение напряжения φ на приборе при одновременном уменьшении объема, в котором выделяемая мощность рассеивается. Поэтому в силовых приборах интересен только переходной процесс полного запирания, приводящий к выключению анодного тока в тиристорах, запираемых по базе (т.е. в GTO-тиристорах: gate turn-off thyristor).

РНВ, вкратце рассмотренный А. Россварфом (A.Rothwarf) и одним из нас в работе [1], посвященной теории GTO-тиристора, может представить определенный интерес для управления светоизлучающими приборами (включая сюда инжекционные лазеры) [2]. В самом деле, РНВ позволяет изменять размер светоизлучающей области (а при несимметричном питании гейтов также ее положение в интервале $(-l, l)$). Изменяя при этом плотность тока и концентрацию носителей в токопроводящей области, мы можем: 1) преодолевать порог лазерного режима, 2) изменять соотношение между излучательным и безызлучательным каналами рекомбинации. Изменение положения и размеров светоизлучающей области содержит возможности изменения взаимодействия носителей тока со световым полем, вариации частоты излучения в лазерном режиме, модуляции выходящего излучения и т. п.

Поэтому подробное исследование РНВ (как статических свойств, так и переходных процессов) может представить заметный практический интерес.

2. Здесь будет представлена теория распределения потенциала, плотности тока и концентраций носителей в РНВ для $p^+ - n - p - n^+$ -структуры, отвечающей следующей совокупности условий.

a. Толщины внутренних областей w_p и w_n малы:

$$w_{n,p} \ll l. \quad (4)$$

В реальных GTO-тиристорах подобные неравенства не выполняются. В управляющей p -базе чаще всего выполняется более слабое условие $w_p < l$, однако в широкой управляемой n -базе (вследствие требования высоковольтности) имеет место скорее противоположное (4) неравенство. Однако в реальных конструкциях светоизлучающих и лазерных тиристоров, число которых на данное время весьма обширно (см., например, [3-10]), условие (4) выполняется, как правило, с хорошим запасом. Неравенство (4) позволяет использовать квазиодномерный подход при описании распределения носителей в базах.

6. Обе внутренние базы предполагаются достаточно высоко легированными, такими, чтобы в них при интересующих нас плотностях тока реализовался режим малых уровней инжекции, т.е. в p -базе имело место условие $n \ll p$ и обратное условие — в n -базе. Обе базы во всех оценках предполагаем также однородно легированными для облегчения этих оценок. Малость уровней инжекции позволяет пренебречь падением напряжения на базах в направлении x , полагая все это падение сосредоточенным на трех $p-n$ -переходах (т.е. $\varphi = \varphi_1 + \varphi_2 + \varphi_3$). Таким образом, потенциал баз зависит от y : $\varphi_p(y) = \varphi_1(y)$, $\varphi_n(y) = \varphi_1(y) + \varphi_2(y) = \varphi(y) - \varphi_3(y)$.

в. Функции баз разделены. Одну из баз — управляющую *p*-базу — будем, вообще говоря, полагать более высокопроводящей (т. е. существенно более легированной) и одновременно более тонкой (и поэтому характеризующейся более высоким коэффициентом усиления). Главный вклад в рекомбинацию вносит вторая база (в данном случае *n*-база) с более низкой проводимостью и более низким коэффициентом усиления.

Выбор в качестве общего электрода *n⁺*-катода, а в качестве управляющего электрода — *p*-базы основан на доминирующей традиционной конструкции силового кремниевого тиристора. В случае управляемого светоизлучающего *p⁺-n-p-n⁺*-диода из GaAs или иного материала типа A^{III}B^V (или сплава) тип проводимости слоев может быть иной. Поскольку в случае обычного светоизлучающего диода предпочитают исполнение базы из *p*-материала, удобнее и в случае *p⁺-n-p-n⁺*-диода в качестве основной светоизлучающей базы использовать *p*-базу. Тогда функцию управляющей базы должна взять на себя *n*-база, а общим электродом должен стать *p⁺*-анод. Переход к такой конструкции от рассматриваемой далее — традиционной — очевиден.

3. Основную систему уравнений, определяющих стационарное распределение потенциалов двух баз (φ_p и φ_n), образуют два уравнения непрерывности токов в этих базах:

$$\frac{d\mathcal{J}_g^{(p)}}{dy} = j_1 - j_2, \quad (5)$$

$$\frac{d\mathcal{J}_g^{(n)}}{dy} = j_2 - j_3, \quad (6)$$

где $\mathcal{J}_g^{(p)}$ — полный ток (на единицу длины в направлении *z*), текущий в *p*-базе в направлении *y*; $\mathcal{J}_g^{(n)}$ — такой же ток в *n*-базе; $j_{1,2,3}$ — плотности токов через каждый из трех *p-n*-переходов конструкции. Поскольку рассматриваются только малые уровни инжекции

$$\mathcal{J}_g^{(p,n)} = -\sigma_{p,n} \frac{d\varphi_{p,n}}{dy}, \quad (7)$$

(где $\sigma_{p,n}$ — продольные проводимости баз, не зависящие от смещений и определяемые основными носителями) плотности $j_{1,2,3}$ определяются напряжениями $\varphi_{1,2,3}(y)$, причем для получения соответствующих функционалов нужно решить задачу о двумерном распределении концентраций неосновных носителей в базах. В *p*-базе это уравнение имеет вид

$$\frac{\partial^2 n}{\partial x^2} + \frac{\partial^2 n}{\partial y^2} + \frac{\mu}{D} \frac{\partial}{\partial y} \left((n + n_0) \frac{d\varphi_p}{dy} \right) = \alpha_p^2 n, \quad (8)$$

где *n* — неравновесная часть концентрации электронов (т. е. полная концентрация равна $n_0 + n(x, y)$, где n_0 — равновесная концентрация), $\alpha_p^2 = (D_n^{(p)} \tau^{(p)})^{-1}$ — квадрат обратной диффузационной длины, $D_n^{(p)}$ —

коэффициент диффузии электронов в p -базе, $\tau^{(p)}$ — их время жизни, не зависящее от n в силу малых уровней инжекции при любых механизмах рекомбинации, μ/D — отношение подвижности электронов в p -базе к коэффициенту диффузии, определяемое соотношением Эйнштейна: $\mu/D = e/T$.

Аналогичное (8) уравнение для дырок в n -базе имеет вид

$$\frac{\partial^2 p}{\partial x^2} + \frac{\partial^2 p}{\partial y^2} - \frac{\mu}{D} \frac{\partial}{\partial y} \left((p + p_0) \frac{d\varphi_n}{dy} \right) = \alpha_n^2 p, \quad (9)$$

где смысл нового параметра α_n^2 очевиден.

В уравнениях (8) и (9) присутствуют полевые слагаемые, связанные с зависимостью $\varphi_{n,p}(y)$, но отсутствуют аналогичные слагаемые в полях $E_x = -\partial\varphi/\partial x$. Казалось бы, при малых уровнях инжекции можно пренебречь последними слагаемыми в левых сторонах (8) и (9), сохранив в них только диффузионные потоки. Однако граничные условия на $p-n$ -переходах

$$n_1 = n_0 [\exp(e\varphi_p/T) - 1], \quad (10)$$

$$n_2 = n_0 \{ \exp[e(\varphi_p - \varphi_n)/T] - 1 \}, \quad (11)$$

$$p_2 = p_0 \{ \exp[e(\varphi_p - \varphi_n)/T] - 1 \}, \quad (12)$$

$$p_3 = p_0 \{ \exp[e(\varphi - \varphi_n)/T] - 1 \}, \quad (13)$$

($n_{1,2}$ и $p_{2,3}$ — значения концентрации носителей заряда около $p-n$ -переходов 1, 2, 3) показывают, что третьи слагаемые в левых частях (8) и (9) имеют порядок вторых слагаемых, а пренебрежение теми и другими соответствует квазиодномерному приближению в базах: координата y фигурирует только в качестве параметра в граничных условиях. Решение уравнений (8) и (9) и получение распределений $n(x, y)$ и $p(x, y)$ позволяет вычислить нормальные составляющие диффузионных потоков на $p-n$ -переходах:

$$j_{n1} = -D_n^{(p)} \frac{dn}{dx} \Big|_{x=0}, \quad j_{n2} = -D_n^{(p)} \frac{dn}{dx} \Big|_{x=w_p}, \quad (14)$$

$$j_{p2} = -D_p^{(n)} \frac{dp}{dx} \Big|_{x=w_p}, \quad j_{p3} = -D_p^{(n)} \frac{dp}{dx} \Big|_{x=w_p+w_n}. \quad (15)$$

Эти потоки являются функционалами φ_p и φ_n , поскольку распределения $n(x, y)$ и $p(x, y)$ получены с граничными условиями (10)–(13). Для фигурирующих в (5) и (6) плотностей тока $j_{1,2,3}$ имеем

$$j_1 = -ej_{n1} + j_{1g}(\varphi_p), \quad (16)$$

$$j_2 = ej_{p2} - ej_{n2} + j_{2g}(\varphi_p - \varphi_n), \quad (17)$$

$$j_3 = ej_{p3} + j_{3g}(\varphi - \varphi_n). \quad (18)$$

Последние слагаемые в правых частях (16)–(18) это токи генерации–рекомбинации непосредственно в слоях объемного заряда $p-n$ -переходов, задаваемые в виде непосредственных функций напряжений на этих переходах.

Токи $j_{1,2,3}$, вычисленные по формулам (16)–(18) и подставленные в уравнения (5), (6), позволяют с учетом (7) получить замкнутую систему уравнений для определения $\varphi_{p,n}$. Уравнения (5) и (6) решаются с граничными условиями при $y = \pm l$. Это — либо условие заданного тока

$$\mathcal{J}_g^p(\pm l) = \pm \mathcal{J}_g^{(\pm)}, \quad (19)$$

причем в случае симметричного питания $\mathcal{J}_g^{(+)} = \mathcal{J}_g^{(-)}$, либо условия заданного потенциала

$$\varphi_p^{(\pm l)} = \varphi_g^{(\pm)}. \quad (20)$$

К этим условиям в обоих случаях следует добавить

$$\mathcal{J}_g^{(n)}(\pm l) = 0, \quad (21)$$

поскольку n -база (в соответствии с моделью структуры, см. рис. 1) не имеет токовых контактов.

В случае квазиодномерного приближения в базах введенная выше система уравнений и граничных условий полна. В случае двумерного рассмотрения распределений носителей в базах ее следует дополнить условиями

$$j_{ny} = -D_n^{(p)} \frac{dn}{dy} + \mu_n^{(p)}(n + n_0) \frac{d\varphi}{dy} \Big|_{y=\pm l} = 0$$

в p -базе и аналогичным условием в n -базе. Поскольку предполагаются неравенства $l \gg w_{p,n}$, вклад этих дополнительных условий не должен быть сколько-нибудь заметным в интересующих нас рабочих режимах.

Обычно фиксируется не напряжение на структуре φ , а полный ток $\mathcal{J}_a = \int_{-l}^l j_3(y) dy$, что позволяет вычислить φ при каждом заданном наборе $\mathcal{J}_g^{(\pm)}$ или $\varphi_g^{(\pm)}$.

4. Особо обещающей является возможность использования квазиодномерного подхода. Рассмотрим эту возможность подробнее. Из выражения (8) без второго и третьего слагаемых в левой части имеем

$$n = n_1(y) \operatorname{sh} \alpha_p(w_p - x) / \operatorname{sh} \alpha_p w_p + n_2(y) \operatorname{sh} \alpha_p x / \operatorname{sh} \alpha_p w_p. \quad (22)$$

Аналогично из выражения (9) имеем

$$p = p_2(y) \operatorname{sh} \alpha_n(w_n - x) / \operatorname{sh} \alpha_n w_n + p_3(y) \operatorname{sh} \alpha_n x / \operatorname{sh} \alpha_n w_n; \quad (23)$$

в формуле (23) мы перенесли начало отсчета x в n -область на границу с $p-n$ -переходом 2. Выражения (22) и (23) дают возможность реализовать формулы (14) и (15), получить токи $j_{1,2,3}$ из (16)–(18) и выписать в явной форме уравнения (5) и (6):

$$\sigma_p \frac{d^2 \varphi_p}{dy^2} = j_{2g}(\varphi_p - \varphi_n) - j_{1g}(\varphi_p) + e D_n^{(p)} \alpha_p \operatorname{th} \left(\frac{\alpha_p w_p}{2} \right) (n_1 + n_2) +$$

$$+ e D_p^{(n)} \alpha_n [p_2 \operatorname{ch}(\alpha_n w_n) - p_3] / \operatorname{sh} \alpha_n w_n, \quad (24)$$

$$\sigma_n \frac{d^2 \varphi_n}{dy^2} = j_{3g}(\varphi - \varphi_n) - j_{2g}(\varphi_p - \varphi_n) - e D_p^{(n)} \alpha_n \operatorname{th} \left(\frac{\alpha_n w_n}{2} \right) (p_2 + p_3) - e D_n^{(p)} \alpha_p [n_2 \operatorname{ch}(\alpha_p w_p) - n_1] / \operatorname{sh} \alpha_p w_p, \quad (25)$$

где $n_{1,2}$ и $p_{2,3}$ являются явными функциями φ_p и φ_n согласно формулам (10)–(13). Таким образом, получена система двух связанных нелинейных дифференциальных уравнений 2-го порядка, определяющих совместно с граничными условиями (21) и (19) (или (20)) распределения $\varphi_p(y)$ и $\varphi_n(y)$ для заданного значения J_a .

В своем полном виде система (24) и (25) является предметом машинного исследования. Предполагая, однако, что основной вклад не только в ток J_a , но и в ток J_g дает область с высокими значениями φ_p , $\varphi_p - \varphi_n$ и $\varphi - \varphi_n$, пренебрежем в выражениях (10)–(13) единицами рядом с экспоненциальными числами, а также токами $j_{1,2,3g}$ рядом с диффузионными токами в правых частях (24) и (25). После этого уравнения (24), (25) можно переписать в виде

$$\frac{d^2 \psi_p}{dy^2} = \beta_p^2 (e^{\psi_p} + e^{\psi_p - \psi_n}) + \beta_n^2 [(1 + \gamma_n) e^{\psi_p - \psi_n} - \gamma_n e^{\psi_p}], \quad (26)$$

$$\xi \frac{d^2 \psi_n}{dy^2} = -\beta_n^2 (e^{\psi_p - \psi_n}) - \beta_p^2 [(1 + \gamma_p) e^{\psi_p - \psi_n} - \gamma_p e^{\psi_p}], \quad (27)$$

где

$$\psi_{p,n} = e\varphi_{p,n}/T, \quad \xi = \sigma_n/\sigma_p,$$

$$\beta_p^2 = \frac{e^2 D_n^{(p)} \alpha_p n_0}{\sigma_p T} \operatorname{th} \left(\frac{\alpha_n w_n}{2} \right), \quad \beta_n^2 = \frac{e^2 D_p^{(n)} \alpha_n p_0}{\sigma_p T} \operatorname{th} \left(\frac{\alpha_n w_n}{2} \right),$$

$$\gamma_n = 1/2 \operatorname{sh}^2 \left(\frac{\alpha_n w_n}{2} \right), \quad \gamma_p = 1/2 \operatorname{sh}^2 \left(\frac{\alpha_p w_p}{2} \right).$$

5. Реально управляющая база обладает существенно более высокой продольной проводимостью, чем управляемая; поэтому параметр ξ мал, $\xi \ll 1$. Это позволяет получить частное решение системы уравнений (26), (27), не использующее явно условие (21) (поскольку током по n -базе мы пренебрегаем всюду), опустив левую часть (27) вовсе; при этом

$$e^{-\psi_n} = \gamma_p e^{\psi_p} \left[(1 + \gamma_p) e^{\psi_p} + \frac{1}{\kappa^2} (e^{\psi_p} + e^\psi) \right]^{-1} \quad (28)$$

и

$$\frac{d^2 \psi_p}{dy^2} = \beta_p^2 e^{\psi_p} \left(1 + \gamma_p \frac{(1 + \gamma_n) e^{\psi_p} - \gamma_n e^\psi + \kappa^2 e^{\psi_p}}{e^{\psi_p} + e^\psi + \kappa^2 (1 + \gamma_p) e^{\psi_p}} \right), \quad (29)$$

где $\kappa = \beta_p/\beta_n$. Уравнение (29) интегрируется в квадратурах, что позволяет данный предельный случай исследовать аналитически до конца.

При однородном распределении потенциала φ_p и плотности тока, приравнивая 0 правую часть (29), имеем

$$e^{\psi_p} = e^{\psi_p^{(0)}} = e^\psi \frac{\gamma_p \gamma_n - 1}{\gamma_p \gamma_n + \gamma_p + 1 + \kappa^2(1 + 2\gamma_p)}, \quad (30)$$

т.е. необходимое нам решение имеет место при выполнении условия $\gamma_p \gamma_n > 1$ или

$$\operatorname{ch}^{-1}(\alpha_p w_p) + \operatorname{ch}^{-1}(\alpha_n w_n) > 1. \quad (31)$$

Это хорошо известное условие открытого состояния тиристора. С учетом (30) уравнение (29) удобно записать в безразмерной форме

$$\frac{d^2 \chi}{d\eta^2} = \frac{e^\chi (e^\chi - 1)}{1 + e^\chi / A}, \quad (32)$$

где $\eta = \beta_p y \sqrt{\gamma_p \gamma_n - 1} \exp(\psi_p^{(0)}/2)$, $\chi = \psi_p - \psi_p^{(0)} < 0$, $A = [1 + \gamma_p + \gamma_p \gamma_n + \kappa^2(1 + 2\gamma_p)]/(\gamma_p \gamma_n - 1)[1 + \kappa^2(1 + \gamma_p)]$. При $\kappa^2 \ll 1$ имеем $A \approx (1 + \gamma_p + \gamma_p \gamma_n)/(\gamma_p \gamma_n - 1)$. Отметим, что уравнение (32) заметно упрощается при $A \gg 1$. Это условие выполняется, во-первых, в случае малой надкритичности, т.е. при $\gamma_p \gamma_n - 1 \ll 1$; во-вторых, при умеренной надкритичности ($\gamma_p \gamma_n - 1 \approx 1$), достигаемой при $\gamma_p \gg 1$ (и, следовательно, $\gamma_n \ll 1$), т.е. при резком различии коэффициентов усиления баз.

Уравнение (32) имеет два «однородных» решения, для которых $d^2 \chi / d\eta^2 \approx 0$:

1) $\chi = 0$, т.е. $\psi_p = \psi_p^{(0)}$; это однородная токопроводящая область без поперечного электрического поля ($d\chi/d\eta = 0$), представляющая тиристор в открытом состоянии.

2) $\chi \rightarrow -\infty$ (т.е. $\psi_p \rightarrow -\infty$); это запретная область с однородным поперечным полем,

$$\frac{d\chi}{d\eta} = -\frac{\mathcal{J}_g}{I_0 \beta} e^{-\psi_p^{(0)}/2}, \quad (33)$$

где $I_0 = \sigma_p T / e$, $\beta = \beta_p \sqrt{\gamma_p \gamma_n - 1}$. Далее, под \mathcal{J}_g понимаем абсолютную величину запирающего тока.

Рассмотрим такое неоднородное распределение $\chi(\eta)$, которое при $\eta \rightarrow -\infty$ переходит в однородное состояние $\psi_p = \psi_p^{(0)}$ (без поперечных полей и тока), а при $\eta \rightarrow \infty$ переходит в распределение с постоянным полем (33) и постоянным током по p -базе. Отметим, что этот ток «генерируется» как раз в той промежуточной области с неоднородным распределением поля $d\chi/d\eta$, которую мы рассматриваем. Проинтегрировав однократно (32), получаем

$$\frac{1}{2A} \left(\frac{d\chi}{d\eta} \right)^2 = (1 + A) \ln \left(\frac{1 + A}{e^\chi + A} \right) - 1 + e^\chi. \quad (34)$$

При $\chi \rightarrow -\infty$ из (34) следует

$$\pm \frac{d\chi}{d\eta} = \left(2A(1+A) \ln(1+1/A) - 2A \right)^{1/2} \equiv C, \quad (35)$$

т. е. с учетом (33)

$$J_g = C\beta I_0 e^{\psi_p^{(0)}/2}. \quad (36)$$

При $A \gg 1$ из (34) следует

$$\frac{d\chi}{d\eta} = \pm \left(1 - e^\chi \right), \quad (34')$$

а для C имеем $C = 1$.

Поскольку для плотности тока в однородной токопроводящей области (где $j_a = j_1 = j_2 = j_3$) имеем

$$j_a^{(0)} = \beta_p^2 A_1 I_0 e^{\psi_p^{(0)}}, \quad (37)$$

где

$$A_1 = \frac{(1 + \gamma_p)(1 + 2\gamma_n) + \kappa^2(1 + \gamma_n)(1 + 2\gamma_p)}{1 + 2\gamma_n + \kappa^2(1 + \gamma_n + \gamma_n\gamma_p)},$$

с учетом (36) получим

$$J_g = C_1 \left(I_0 j_a^{(0)} \right)^{1/2}, \quad (38)$$

где $C_1 = \{(2A/A_1)(\gamma_p\gamma_n - 1)[(1+A)\ln(1+1/A) - 1]\}^{1/2}$. При $\kappa^2 \ll 1$ имеем $A_1 \approx 1 + \gamma_p$; если дополнительно предположить также $A \gg 1$, то $C_1 \approx [(\gamma_p\gamma_n - 1)/(1 + \gamma_p)]^{1/2}$. Конкретная форма переходного слоя может быть получена в результате интегрирования (34), однако пространственный масштаб, описывающий его толщину, можно получить, например, линеаризуя (32) для малых значений χ . При этом он дается длиной

$$y_c = \frac{e^{-\psi_p^{(0)}/2}(1 + 1/A)^{1/2}}{\beta_p(\gamma_p\gamma_n - 1)^{1/2}} = C_2 \left(I_0 / j_a^{(0)} \right)^{1/2}, \quad (39)$$

где $C_2 = [A_1(1 + 1/A)/(\gamma_p\gamma_n - 1)]^{1/2}$. При $A \gg 1$ из (34') следует

$$e^{\eta - \eta_0} = e^{-\chi} - 1, \quad (40)$$

где η_0 — некоторая произвольная величина, характеризующая положение переходного слоя в интервале $(-\infty, +\infty)$. При $|\chi| > 1$ получается линейный ход спада χ , т. е. $\chi = \eta_0 - \eta$. При одновременном выполнении $A \gg 1$ и $\kappa^2 \ll 1$ имеем

$$j_c = j_1 \approx \beta_p^2 I_0 e^{\psi_p^{(0)}} (\gamma_p + 1) e^\chi, \quad (41)$$

$$j_a = j_3 = j_2 \simeq \beta_p^2 I_0 e^{\psi_p^{(0)}} (\gamma_p + 1) e^\chi \left[1 + \frac{\gamma_p \gamma_n - 1}{\gamma_p + 1} (1 - e^\chi) \right]. \quad (42)$$

В сочетании формул (41) и (42) с формулой (40) мы получили простые зависимости, определяющие пространственное распределение анодной плотности тока $j_a(\eta)$, катодной плотности $j_c(\eta)$ и скорости «генерации» гейтового тока $j_a(\eta) - j_c(\eta)$ в переходном слое.

Естественно, что описанное выше решение в виде двух областей с переходным слоем между ними может уместиться на полуцелосе с шириной l при выполнении ряда сильных неравенств. Прежде всего должно быть выполнено условие $y_c \ll l$ или с учетом (38)

$$C_1 C_2 I_0 / \mathcal{J}_g \ll l, \quad (43)$$

произведение $C_1 C_2$ практически всегда мало отличается от 1. По мере роста \mathcal{J}_g и при жестко заданном значении \mathcal{J}_a вследствие роста плотности тока j_a в токопроводящей области ее эффективный размер сжимается

$$x_c = \mathcal{J}_a / j_a^{(0)}. \quad (44)$$

При этом характерный размер y_c , согласно (39), уменьшается медленнее, чем x_c , и условие

$$y_c \ll x_c, \quad (45)$$

начиная с некоторого значения \mathcal{J}_g , нарушится; для выполнения (45) необходимо выполнение неравенства

$$\mathcal{J}_g \ll \mathcal{J}_a C_1 / C_2, \quad (46)$$

т. е. неоднородное распределение, включающее почти однородную токопроводящую область и выраженную обедненную область, образуется в диапазоне значений \mathcal{J}_g , определенном условиями (43) и (46):

$$C_1 C_2 I_0 / l \ll \mathcal{J}_g \ll \mathcal{J}_a C_1 / C_2. \quad (47)$$

Сам это диапазон образуется при достаточно большом значении \mathcal{J}_a :

$$\mathcal{J}_a \gg C_2^2 I_0 / l. \quad (47')$$

Оценим прежде всего возможность выполнения (47') и, следовательно, существования необходимого интервала значений \mathcal{J}_g . Для этого оценим величину I_0 / l . При удельной проводимости управляющей базы порядка $10^2 (\text{Ом} \cdot \text{см})^{-1}$ и ее толщине w_p порядка 10^{-4} см имеем $\sigma_p \simeq 10^{-2} \text{ Ом}^{-1}$. При $T \simeq 300$ К получаем $I_0 = 2.5 \cdot 10^{-4}$ А. При $l = 50$ мкм имеем $I_0 / l = 5 \cdot 10^{-2}$ А/см. Полагая константу $C_2^2 \simeq 1$ (что разумно в случае не слишком малой надкритичности $\gamma_p \gamma_n - 1$), получаем условие (44) в виде $j_a^{(0)} = \mathcal{J}_a / 2l \gg I_0 / 2l^2 = 5 \text{ А/см}^2$. Поскольку требуется выполнение условия малых уровней инжекции, имеется некоторый верхний предел возможных значений j_a . При концентрации акцепторов в p -базе, превышающей 10^{18} см^{-3} и ее толщине порядка 10^{-4} см, эта предельная плотность превышает 10^3 А/см^2 , так что существует некоторый диапазон применимости развиваемого расчета.

6. Рассмотрим характер распределения $j_a(y)$ для \mathcal{J}_g вне интервала (47). При малых значениях \mathcal{J}_g , отвечающих неравенству, противоположному (43), мы сталкиваемся с ситуацией, обозначенной условием (1). В самом деле произведение $C_1 C_2 = \{2(1+A)[(1+A)\ln(1+1/A)-1]\}^{1/2}$ строго равно 1 при $A \rightarrow \infty$, но, как отмечалось, мало отлично от 1 практически всегда (и при $A = 1$, что является нижним пределом этой величины). В случае выполнения (1), как было указано, можно пренебречь зависимостью всех концентраций и потенциалов от y , рассматривая однородное состояние. В этом состоянии

$$\mathcal{J}_g = l A \beta^2 I_0 e^{\psi_p} \frac{1 - e^\chi}{A + e^\chi}, \quad (48)$$

$$\mathcal{J}_a = 2l \beta_p^2 I_0 \frac{\gamma_p \gamma_n}{1 + \kappa^2(1 + \gamma_p)} e^{\psi_p} \frac{B - e^\chi}{A + e^\chi}, \quad (49)$$

где $B = A(1 + 1/\gamma_n) [1 + \kappa^2(1 + \gamma_p)] > 1$. Из соотношений (48) и (49) можно выразить $\exp \psi_p$ и $\exp \chi$ через \mathcal{J}_g и \mathcal{J}_a , в результате имеем

$$e^\chi = \frac{B_1 - B(2\mathcal{J}_g/\mathcal{J}_a)}{B_1 - (2\mathcal{J}_g/\mathcal{J}_a)}, \quad (50)$$

где $B_1 = 1 + [1 + j_p + \kappa^2(1 + 2\gamma_p)] / j_n j_p > 1$. Возрастание \mathcal{J}_g при заданном \mathcal{J}_a вызывает снижение величины $\exp \chi$, достигающей нулевой отметки при

$$\frac{2\mathcal{J}_g}{\mathcal{J}_a} = \frac{B_1}{B} = \frac{(\gamma_p \gamma_n - 1)}{\gamma_p(1 + \gamma_n)}. \quad (51)$$

Этому предельному отношению $2\mathcal{J}_g/\mathcal{J}_a$ отвечает предельное значение

$$e^{\psi_p} = \frac{\mathcal{J}_a}{2l I_0 \beta_p^2 \gamma_p (1 + \gamma_n)}. \quad (52)$$

Достижение этого предела возможно только при достаточно малых значениях \mathcal{J}_a , при которых вместо (47') выполняется неравенство, противоположное по смыслу.

В случае, когда при выполнении условия (47') \mathcal{J}_g достигает значений, даваемых правой частью (47), токопроводящая область сужается до размеров, имеющих порядок толщины ее стенок, и утрачивает однородность. Очевидно, что в этом случае ток \mathcal{J}_g управляет уже плотностью тока j_a не только посредством изменения размеров, но и «непосредственно» — путем отбора части анодного тока в базовый электрод. В этом случае $\psi_p(0)$ меньше значения $\psi_p^{(0)}$, определяемого формулой (30) по заданному значению полного напряжения ψ на структуре. Полагая $\exp[\psi_p(0)] \ll \exp(\psi_p^{(0)})$, легко получаем после интегрирования уравнения (32) и вычисления полного тока \mathcal{J}_a

$$\mathcal{J}_g = \beta I_0 \left(2e^{\psi_p(0)}\right)^{1/2},$$

$$\mathcal{J}_a = 1\beta I_0 \frac{\gamma_p(1 + \gamma_n)}{\gamma_p \gamma_n - 1} \left(2e^{\psi_p(0)}\right)^{1/2},$$

т. е. между \mathcal{J}_g и \mathcal{J}_a возникает некоторое предельное соотношение (см. (3)):

$$\mathcal{J}_g = \mathcal{J}_M(\mathcal{J}_a) = \frac{\mathcal{J}_a}{2} \frac{\gamma_p \gamma_n - 1}{\gamma_p(1 + \gamma_n)}. \quad (53)$$

Нетрудно убедиться, что правая часть (53) не слишком существенно отличается от правой части сильного неравенства (46). Отсутствуют стационарные состояния с заданным полным током \mathcal{J}_a при значениях \mathcal{J}_g , превышающих правую часть (53). Отметим, что соотношение (53) не отличается от соотношения (51), полученного при малых значениях \mathcal{J}_g и \mathcal{J}_a .

7. Приведенные выше расчеты и оценки позволяют нарисовать некоторую единую картину воздействия запирающего гейтового тока \mathcal{J}_g на распределение плотности анодного тока j_a в четырехслойной структуре с заданным полным током \mathcal{J}_a . Пока этот полный ток мал и выполняется неравенство, противоположное по смыслу (47'), воздействие \mathcal{J}_g нигде не вызывает заметного изменения плотности j_a , эта плотность сохраняет приближенно свою однородность. Воздействие \mathcal{J}_g вызывает лишь увеличение полного напряжения ψ на образце. Рост \mathcal{J}_g ограничен предельным соотношением (51): стационарные значения \mathcal{J}_g , превышающие этот уровень при заданном значении \mathcal{J}_a , невозможны.

С ростом \mathcal{J}_a и выполнением условия (47') картина воздействия \mathcal{J}_g резко меняется. Этот ток приводит к существенно гетерогенной картине распределения $j_a(y)$; токопроводящая область сжимается — ее полуразмер убывает с ростом \mathcal{J}_g :

$$x_c = C_1^2 \frac{I_0 \mathcal{J}_a}{\mathcal{J}_g^2}, \quad (54)$$

а плотность тока в ней соответственно растет (см. формулу (38)). Соответственно также возрастает полное напряжение ψ . Именно эта гетерогенная картина с управляемыми размером токопроводящей области и плотностью тока в ней является основным предметом нашего интереса. И в этом случае возможный рост \mathcal{J}_g не беспределен; этот ток в стационарном случае может достичь лишь максимального значения (53), которому отвечает предельное сжатие токопроводящей области. При приближении к этому значению нарушаются критерии приближения малых уровней инжекции, использованных в вышеприведенных расчетах и оценках. По-видимому, это нарушение является существенным только для управляющей p -базы, поскольку при $\xi \ll 1$ и $\kappa \ll 1$ управляемая n -база фигурирует в наших формулах лишь в виде аргумента ($\alpha_n w_n$) в гиперболических функциях (т. е. в конечном счете в виде коэффициента усиления этой базы по току). Это, разумеется, относится к достаточно тонким n -базам в режиме, когда основное падение напряжения происходит на $p-n$ -переходах. При предельном сжатии токопроводящей области могут быть также нарушены критерии квазиодномерного подхода, примененного выше.

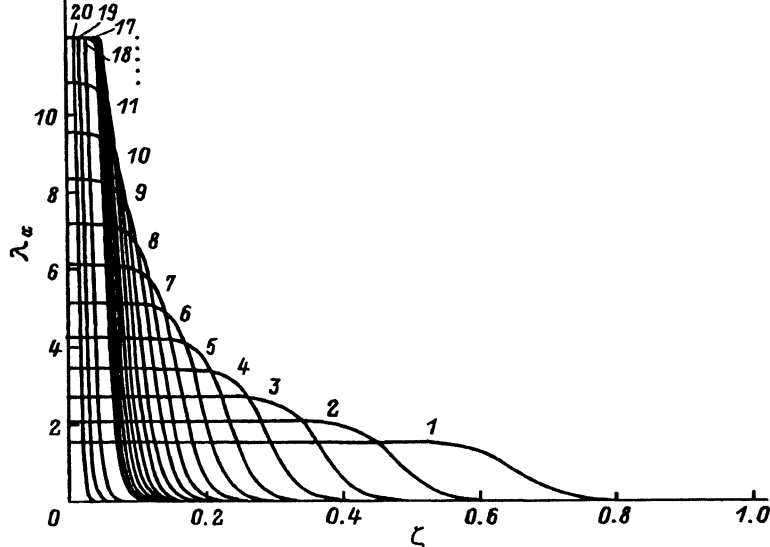


Рис. 2. Распределение плотности анодного тока $\lambda_a(\zeta)$ для различных значений гейтовых токов Λ_g . Кривые с номерами $N = 1 \div 17$ построены для токов, соответствующих величине $\Lambda_g(N) = 30 + 5(N - 1)$, кривые с $N = 18, 19, 20$ построены для $\Lambda_g = 150, 200, 275$ соответственно (цифры у кривых 12 \div 16 на рисунке не проставлены). Значению $\Lambda_g = 275$ соответствует $J_g = J_M(J_a)$. Остальные параметры: $\Lambda_a = 500$, $\gamma_p = 3$, $\gamma_n = 2$, $\kappa^2 = 0.5$, $\xi = 0$.

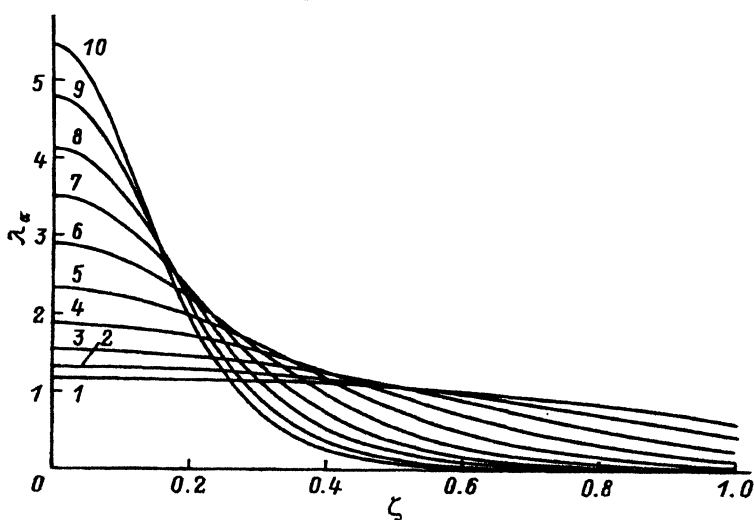


Рис. 3. Распределение плотности анодного тока $\lambda_a(\zeta)$ для различных значений гейтовых токов Λ_g . Кривым с номерами $N = 1 \div 10$ соответствуют токи $\Lambda_g(N) = 2 + (N - 1)$. Значению $\Lambda_g = 11$ соответствует $J_g = J_M(J_a)$. Остальные параметры: $\Lambda_a = 100$, $\gamma_p = 3$, $\gamma_n = 0.5$, $\kappa^2 = 0.5$, $\xi = 0$.

Проиллюстрируем вышесказанное в помощь рисунков. На рис. 2 и 3 построены пространственные распределения плотности анодного тока λ_a для двух различных структур в зависимости от гейтового тока. Использована безразмерная пространственная переменная $\zeta = y/l$, позволяющая во всех случаях обходиться интервалом $(0, 1)$.

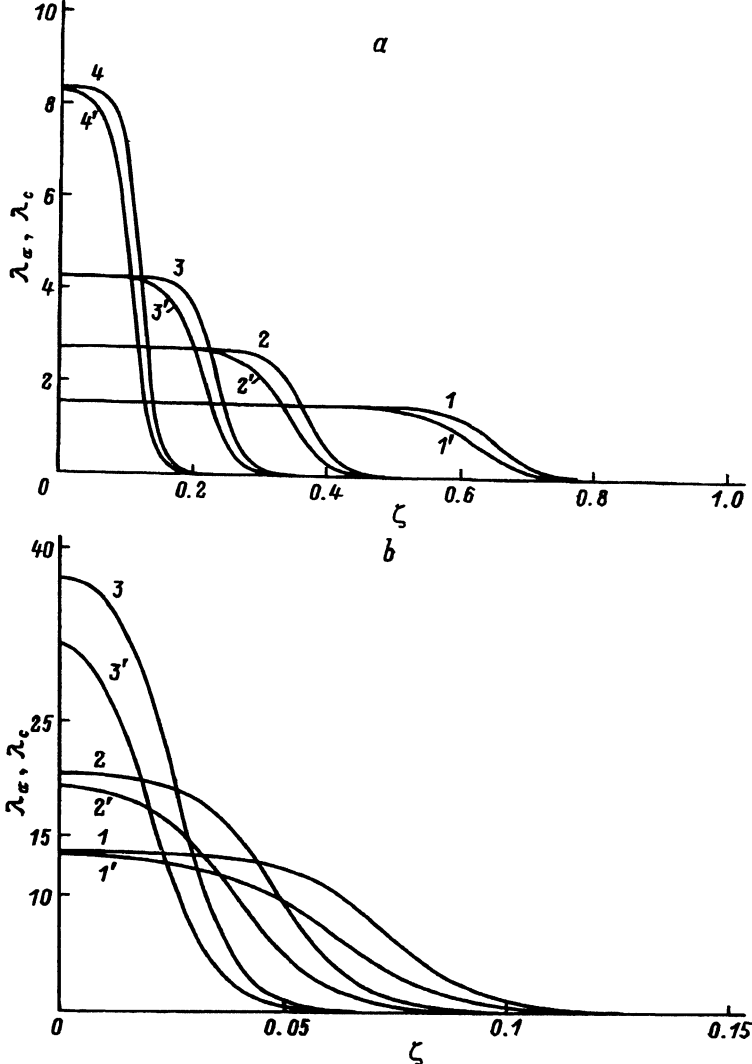


Рис. 4. Распределения $\lambda_a(\zeta)$ (1-4) и $\lambda_c(\zeta)$ ($1'-4'$) для тех же значений параметров образца, что на рис. 2. а — значения $\Lambda_g(N)$: 1 — 30, 2 — 40, 3 — 50, 4 — 70; б — значения Λ_g : 1 — 90, 2 — 110, 3 — 150.

Графики построены в результате решения уравнения (32) при заданных значениях J_g и J_a . Каждая кривая $\lambda_a = \lambda_a(\zeta)$ определяется значением пяти параметров, ранее введенных γ_n , γ_p , κ^2 , а также $\Lambda_a = J_a l / 2I_0$ и $\Lambda_g = J_g l / I_0$. Нормировка плотности анодного тока выбрана таким образом, чтобы $\int_0^1 \lambda_a(\zeta) d\zeta = 1$, т. е. $\lambda_a = l j_a / J_a$. На рис. 2 семейство зависимостей $\lambda_a(\zeta)$ для одного заданного значения Λ_a и различных значений Λ_g построено в случае, когда уверенно выполнено условие (47') и существует достаточный диапазон значений J_g удовлетворяющих условиям (47). В этом диапазоне хорошо проявляются как запертые области, так и однородные токопроводящие области, разделенные сравнительно узкими переходными слоями. В отличие от рис. 2 на

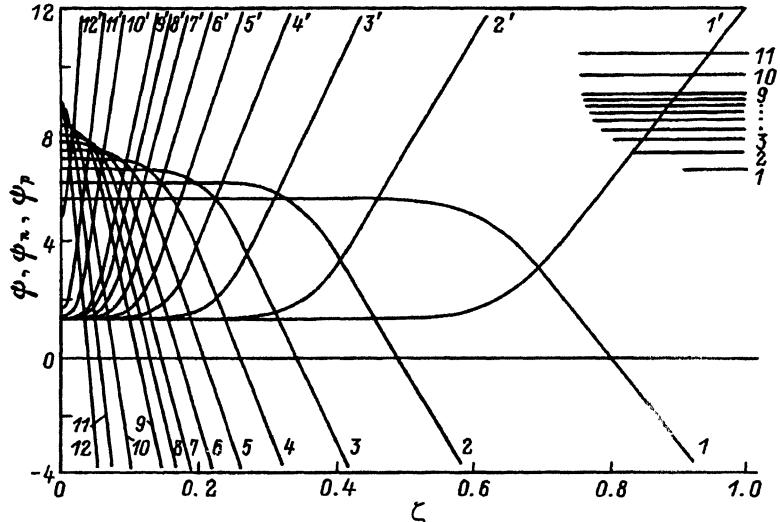


Рис. 5. Распределение потенциалов $\psi(\zeta)$, $\psi_p(\zeta)$ (1-12), $\psi_n(\zeta)$ (1'-12') для тех же параметров, что на рис. 2. Горизонтальными линиями (1-11) вверху слева показаны соответствующие значения Φ . Кривым с номерами $N = 1 \div 9$ отвечают значения $\lambda_g(N) = 30 + 10(N - 1)$, кривым с $N = 10 \div 12$ соответствуют $\lambda_g = 150, 200, 275$ соответственно.

рис. 3 проиллюстрирована ситуация, когда условие (47') хоть и выполняется, но не столь уверенно. Хотя и в этом случае с ростом J_g мы получаем существенно гетерогенные состояния, однако диапазона с однородными сужающимися токопроводящими областями здесь не возникает.

Отметим, что для кривых на рис. 2 и 3 использованы значения параметров γ_n , γ_p и κ^2 , исключающие применение упрощающих приближений $A \gg 1$ и даже $\kappa^2 \ll 1$. На рис. 4 для нескольких значений J_a и J_g показаны одновременно зависимости $\lambda_a(\zeta)$ и $\lambda_c(\zeta) = l j_c / J_a$. Наряду со случаем промежуточного значения J_g с однородной токопроводящей областью (рис. 4, а) показан случай большого значения J_g со сжатой неоднородной токопроводящей областью (рис. 4, б). В первом случае ток J_g «генерируется» только в переходном пограничном слое. Во втором случае вся токопроводящая область смещается гейтовым током. На рис. 5 для того же «образца» и значения тока J_a , что и на рис. 2, показаны распределения потенциалов $\psi_p(\zeta)$ и $\psi_n(\zeta)$; там же имеются уровни полного напряжения ψ , также зависящего от J_g . С ростом J_g потенциал ψ , а также потенциал $\psi_p(\zeta)$ в токопроводящей области нарастают, тогда как потенциал $\psi_n(\zeta)$ сохраняется в качестве инварианта. Его изменение начинается с потерей однородности токопроводящей области.

Обратим внимание на линейный рост отрицательного потенциала $\psi_p(\zeta)$ по мере приближение к гейтовому контакту. Он связан с омическим падением напряжением в результате наличия тока J_g . Аналогичный линейный рост положительного потенциала $\psi_n(\zeta)$ не имеет физической природы и связан с дефектом приближения (см. далее в разд. 8). Отметим, что этот дефект проявляется только в запертой области, где плотность тока $j_a(\zeta)$ пренебрежимо мала.

8. Предыдущее рассмотрение никак не принимало во внимание конечной величины проводимости управляемой n -базы σ_n . В совокупности с неучетом термогенерации носителей уравнениями (26) и (27) (и, следовательно, (32)) это приводит к тому, что n -база воспроизводит с обратным знаком ход потенциала p -базы (см. формулу (28)); в результате в запертой области управляемой базы возникает нефизический рост ее плавающего потенциала, запирающего не только средний (межбазовый) $p-n-p$ -переход, но и анодный переход. Этот эффект хорошо наблюдается на рис. 5, где изображены распределения потенциалов обеих баз. Это нефизическое поведение потенциала ψ_n имеет место в области малой плотности анодного тока и поэтому слабо сказывается на суммарных результатах.

Здесь мы попытаемся оценочно учесть вклад малой проводимости вдоль n -базы в распределение потенциала ψ_n и плотности тока $j_a(y)$ в запертой области. Наличие этой проводимости приводит к отрицательному смещению базы p^+-n-p^- -транзистора, в котором прямо смещенный анодный p^+-n -переход является эмиттером дырок, а обратно смещенный средний $n-p$ -переход — их коллектором.

Для простоты ограничимся наиболее прозрачным случаем $A \gg 1$. При этом правую часть уравнения (27) можно заметно упростить, вычеркнув там слагаемые с $\exp(\psi_p - \psi_n)$. В результате уравнение приобретет вид

$$\xi' \frac{d^2\chi}{d\eta^2} = e^{\chi'} - e^\chi, \quad (55)$$

где $\xi' = \xi(\gamma_p \gamma_n - 1)/\gamma_p$, $\chi' = \psi - \psi_n - \psi_p^{(0)} - \ln(\kappa^2 \gamma_p)$. Полагаем, что конечность величины ξ мало сказывается на зависимости $\chi(\eta)$, но сильно влияет на $\chi'(\eta)$. Это позволяет считать функцию $\chi(\eta)$ в (55) заданной (см. формулу (40)).

$$\chi(\eta) \simeq -\ln[\exp(\eta - \eta_0) + 1]. \quad (56)$$

Полагая, как и раньше, $\chi'(\eta) \simeq \chi(\eta)$, имеем

$$\frac{d\chi'}{d\eta} = - (1 + e^{-\eta + \eta_0})^{-1}, \quad (57)$$

т. е. переходная область не только «генерирует» гейтовый ток J_g в управляемой базе, но одновременно и некоторый ток в управляемой базе, который в ξ раз меньше, чем J_g , и направлен в противоположную сторону. В отличие от тока J_g , для которого существует специальный электрод — гейт, ток, текущий по управляемой базе, может войти только лишь через анод, который должен быть открыт даже в запертой области и через который должен течь прямой ток, часть которого составляет упомянутый ток по управляемой базе, а другая часть уходит в обратно смещенный средний $p-n$ -переход. Это означает, что в запертой области мы имеем эффективный p^+-n-p -транзистор с анодным p^+-n -переходом в качестве эмиттера и средним $p-n$ -переходом в качестве коллектора. Этот транзистор смещен по управляемой n -базе базовым током, текущим через токопроводящую область.

Для расчета распределения анодного тока в таком транзисторе решаем уравнение (55) без последнего члена в правой части (поскольку в запертой области он пренебрежимо мал). Решение, удовлетворяющее условию $dX'/d\eta|_{\eta=\eta_l} = 0$, где $\eta_l = \beta l \exp(\psi_p^{(0)}/2)$, имеет вид

$$e^{X'} = \frac{2\xi' \Phi^2}{\eta_1^2 \cos^2[\Phi(\eta_l - \eta)/\eta_1]}, \quad (58)$$

где Φ — постоянная интегрирования ($0 < \Phi < \pi/2$), η_1 — длина запертой области (и, следовательно, эффективного транзистора), так что η изменяется в интервале $(\eta_l - \eta_1, \eta_l)$. Безусловно, длина запертой области есть условное понятие, точный количественный смысл которого может быть выяснен только после решения уравнения (55) в полном виде (что оставляется на будущее). Здесь мы ограничимся приравниванием производной $dX'/d\eta$, находящей из (58), ее значению -1 , следующему из (57) для $\eta = \eta_l - \eta_1$. Тогда для Φ получается

$$2\Phi \operatorname{tg} \Phi = \eta_1. \quad (59)$$

Из (59) для больших запертых областей ($\eta_1 \gg 1$) следует $\Phi \approx \pi/2$. Используя это значение в (58), получим для крайней точки $\eta = \eta_l$

$$\exp[X'(\eta_l)] = \xi' \pi^2 / 2\eta_1^2. \quad (60)$$

Всегда можно указать настолько большие значения $\psi_p^{(0)}$ (увеличивающиеся с ростом тока J_a), для которых величина $\psi - \psi_n(\eta_l)$ положительна и сделанные оценки законны.

9. В заключение подведем некоторые итоги.

а) Показана возможность стационарного сжатия токопроводящей области в рассматриваемой структуре. В случае достаточно большого значения J_{al} (см. условие (47')) это сжатие в широком диапазоне значений гейтового тока происходит посредством сужения однородной токопроводящей области, теснимой к середине структуры периферийными запертыми областями. В случае умеренных значений J_{al} гейтовый ток также существенно изменяет распределение плотности анодного тока по площади анода, образуя гетерогенную структуру с неоднородной токопроводящей областью, размер которой имеет порядок толщины ее стенок.

б) В случае больших значений J_{al} размер однородной токопроводящей области x_c убывает с ростом J_g как J_g^{-2} (см. формулу (54)). Этот результат находится в полном согласии с аналогичным результатом работы [1], полученным для иной тиристорной структуры при том же условии малых уровней инжекции в p -базе. При условии $\kappa^2 \ll 1$, $\xi \ll 1$ и независимости γ_n от плотности тока управляемая n -база влияет на исследуемые здесь процессы, по-видимому, не слишком критически. Это позволяет надеяться на гейтовую управляемость рассматриваемой структуры также и при существенном размытии принятых здесь предположений об n -базе.

Нетрудно показать, что при переходе от малых уровней инжекции в управляющей базе к большим (как и в случае, рассмотренном в работе [1]), несмотря на изменение некоторых количественных закономерностей, качественный характер картины сжатия останется таким же, хотя теоретическое рассмотрение придется строить на нескольких принципах.

Авторы благодарят Фонд фундаментальных исследований Государственного комитета по науке и технике Украины за частичную поддержку данного исследования.

Список литературы

- [1] Z. Gribnikov, A. Rothwarf. Sol. St. Electron., **37**, 135 (1994).
- [2] Z. Gribnikov, V. Mitin, A. Pothwarf. Proc. Conf. 1993 ISDRS, **2**, 603 (1993).
- [3] P.R. Claisee, G.W. Taylor, D.P. Doctor, P.W. Cooke. IEEE Trans. Electron. Dev. **30**, 2523 (1992).
- [4] P.W. Cooke, G.W. Taylor, P.R. Claisee. IEEE Photon. Technol. Lett., **2**, 537 (1990).
- [5] G.W. Taylor, P.W. Cooke. Appl. Phys. Lett., **56**, 1308 (1990).
- [6] P.W. Cooke, G.W. Taylor, P.R. Claisee, T.Y. Chang. J. Vac. Sci. Techn., **B8**, 367 (1990).
- [7] D.L. Crawford, G.W. Taylor, J.G. Simmons. Appl. Phys. Lett., **52**, 863 (1988).
- [8] K. Kasahara, Y. Tashiro, N. Hamao, M. Sugimoto, T. Yanase. Appl. Phys. Lett. **52**, 679 (1988).
- [9] Y. Tashiro, N. Hamao, M. Sugimoto, N. Takado, S. Asada, T. Yanase. Appl. Phys. Lett., **54**, 329 (1989).
- [10] K. Kurihara, T. Numai, I. Ogura, H. Kosaka, M. Sugimoto, K. Kasahara. Japan. J. Appl. Phys., **B32**, 604 (1993).

Редактор Т.А. Полянская

Intermediate state of a controlled four-layer $p-n-p-n$ -structure

*N.Z. Vaginov, Z.S. Gribnikov, A.N. Korshak, V.V. Mitin**

Institute of Semiconductor Physics, Ukrainian Academy of Science, 252650 Kiev, the Ukraine

*Wayne State University, Detroit, Michigan 48202, USA